

九州産業大学 学生員 鈴木理史 中野正興

山本高志 増重哲男

正会員 ○ 島山正常

1. まえがき 地下密度流の問題はいろいろ提起されていながら、本報は図-1(A)および(B)に示すよくな流れの場を逐次加速緩和法(successive over relaxation method 以下SOR法と云う)によつて解いた結果を砂模型実験によつて検討したものである。なお、取扱つた流れの場は水理構造物としてはその機能上には施工のうえからいいう困難な問題あるかと予想できる河口堰底下的塩水浸入防止対策としてのウォーターカーテン工法への適用化を意図したものである。

2. 解析 図-1(A)および(B)に示すように座標軸その他の諸元をとり、速度ポテンシャルを Ψ 、流れの関数を ψ 、 x および y の負方向の流速を U およ V とすると周知の

$$\begin{aligned} U &= \frac{\partial \Psi}{\partial x} = \frac{\partial \psi}{\partial y}, & V &= \frac{\partial \Psi}{\partial y} = -\frac{\partial \psi}{\partial x} \\ \frac{\partial^2 \Psi}{\partial x^2} + \frac{\partial^2 \Psi}{\partial y^2} &= 0, & \frac{\partial^2 \Psi}{\partial x^2} + \frac{\partial^2 \Psi}{\partial y^2} &= 0 \end{aligned} \quad \left. \right\} \quad (1)$$

が成立するが、図-1(A)および(B)に示した流れの場は問題が解かれただ後に免る自由境界すなわち淡渇境界の曲面をもつてゐるので式(1)を解いて境界条件を満足させることはかなり困難と考えられる。そこで

$$J = \frac{\partial(\Psi, \psi)}{\partial(x, y)} = \begin{vmatrix} \frac{\partial \Psi}{\partial x} & \frac{\partial \Psi}{\partial y} \\ \frac{\partial \psi}{\partial x} & \frac{\partial \psi}{\partial y} \end{vmatrix} = U^2 + V^2 \approx 0 \quad \dots \dots \dots (2)$$

なる Jacobian J を導入すれば

$$\begin{aligned} \frac{\partial x}{\partial \Psi} &= \frac{1}{J} \frac{\partial \Psi}{\partial y} = \frac{U}{J}, & \frac{\partial x}{\partial \psi} &= -\frac{1}{J} \frac{\partial \psi}{\partial y} = -\frac{V}{J} \\ \frac{\partial y}{\partial \Psi} &= -\frac{1}{J} \frac{\partial \Psi}{\partial x} = \frac{V}{J}, & \frac{\partial y}{\partial \psi} &= \frac{1}{J} \frac{\partial \psi}{\partial x} = \frac{U}{J} \end{aligned} \quad \left. \right\} \quad (3)$$

$$\frac{\partial^2 \Psi}{\partial x^2} + \frac{\partial^2 \Psi}{\partial y^2} = 0, \quad \frac{\partial^2 \psi}{\partial x^2} + \frac{\partial^2 \psi}{\partial y^2} = 0 \quad \dots \dots \dots (4)$$

(1)(2)(3)

がえらぶことが知られていく。

本報の例題の解析は式(3)および(4)を用いて行なはれ成るし、式(5)に淡渇界面の条件を適用すると、

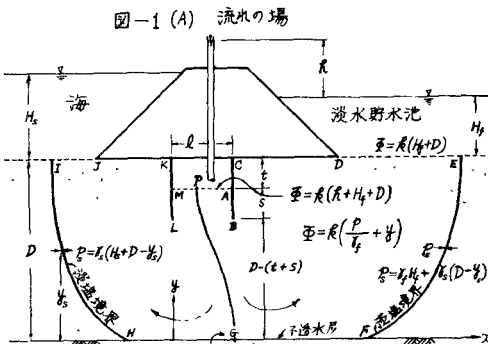
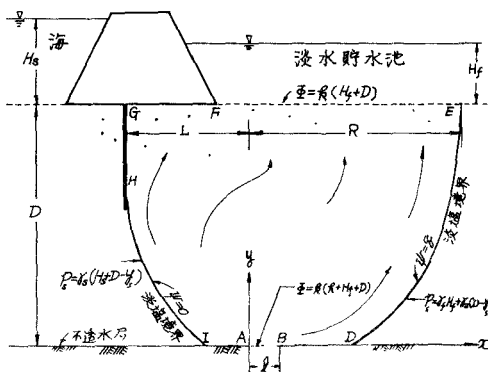


図-1(B) 流れの場



た。地盤の透水係数を K 、流れの場の任意点の圧力を P 、淡水の単位重量を γ_f として、Darcyの法則を適用できるとすれば周知のように

$$\Psi = R \left(\frac{P}{\gamma_f} + \gamma \right) \quad \dots \dots \dots (5)$$

図-1(A)および(B)の両流れの場とし

$$\text{貯水池側} \cdots Y_s = \rho \{ H_s + (1+\epsilon)D \} - \rho g Y_s \quad \cdots (6)$$

$$\text{海側} \cdots Y_s = \rho \{ (1+\epsilon)(H_s+D) - \rho g Y_s \} \quad \cdots (7)$$

となる。たゞし ρ_s を塩水の単位重量として

$$\epsilon = \frac{\rho_s - \rho_f}{\rho_f} \quad \cdots (8)$$

である。のちに便利なよう

$$X = \frac{Y}{D}, \quad Y = \frac{y}{D} \quad \cdots (9)$$

$$\varphi = \frac{\Psi - \rho(H_s+D)}{\rho R}, \quad \psi = \frac{\psi}{R} \quad \cdots (10)$$

なる無次元化を行なうと、式(3)および(4)は

$$\frac{\partial X}{\partial \varphi} = \frac{1}{J_0} \frac{\partial \psi}{\partial Y} = \frac{U}{J_0}, \quad \frac{\partial X}{\partial \psi} = -\frac{1}{J_0} \frac{\partial \varphi}{\partial Y} = -\frac{V}{J_0} \quad \cdots (11)$$

$$\frac{\partial Y}{\partial \varphi} = -\frac{1}{J_0} \frac{\partial \psi}{\partial X} = \frac{V}{J_0}, \quad \frac{\partial Y}{\partial \psi} = \frac{1}{J_0} \frac{\partial \varphi}{\partial X} = \frac{U}{J_0}$$

$$\frac{\partial^2 Y}{\partial \varphi^2} + \frac{\partial^2 Y}{\partial \psi^2} = 0, \quad \frac{\partial^2 X}{\partial \varphi^2} + \frac{\partial^2 X}{\partial \psi^2} = 0 \quad \cdots (12)$$

となる。たゞし

$$J_0 = U^2 + V^2, \quad U = \frac{(U/\rho)}{(\rho/D)}, \quad V = \frac{(V/\rho)}{(\rho/D)} \quad \cdots (13)$$

これらを用いて図-1(A)および(B)の境界条件を示せば図-2(A)および(B)がえられる。これらの図から本例では、まず、Yについて式(12)を解けばXについての境界条件がわかつから、Xについても式(12)は解かれるわけであるから、解析の手続としてSOR法を用いるとき、この方法ではYおよびXについて別々に収束計算を行なわなければならぬ。そこで、式(11)より

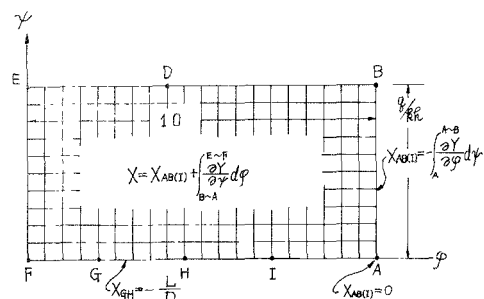
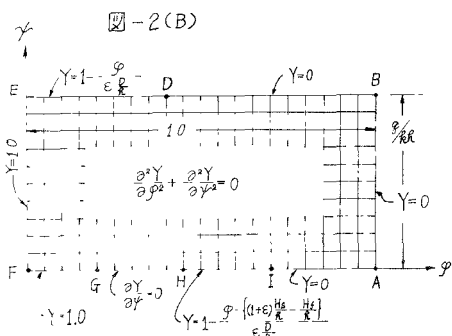
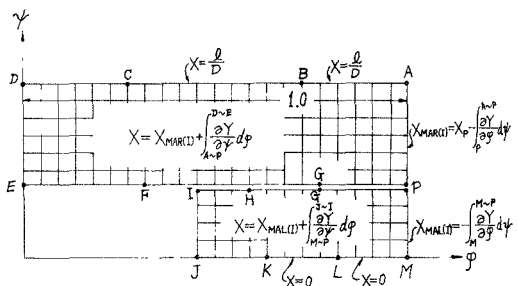
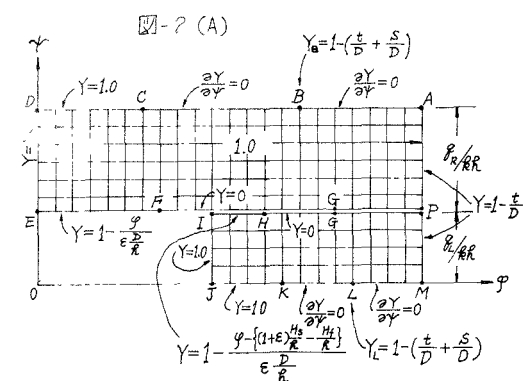
$$\frac{\partial X}{\partial \varphi} = \frac{\partial Y}{\partial \psi}, \quad \frac{\partial Y}{\partial \varphi} = -\frac{\partial X}{\partial \psi} \quad \cdots (14)$$

がえられ、また

$$dX = \frac{\partial X}{\partial \varphi} d\varphi + \frac{\partial X}{\partial \psi} dy, \quad dY = \frac{\partial Y}{\partial \varphi} d\varphi + \frac{\partial Y}{\partial \psi} dy \quad \cdots (15)$$

であるからこれに式(14)を適用すれば

$$dX = \frac{\partial Y}{\partial \psi} d\varphi - \frac{\partial X}{\partial \psi} dy, \quad dY = -\frac{\partial X}{\partial \psi} d\varphi + \frac{\partial Y}{\partial \psi} dy \quad \cdots (16)$$



で Y がえられる。すなはち式(12)の X または Y のうち何れか片方の式を解く収束計算を行なえば事足りる。実際の計算は等ポテンシャル線または流線 $\psi = \text{const.}$ 上で行なうのが便利であるから

$\psi = \text{const.}$ の上では

$$X = \int \frac{\partial Y}{\partial \psi} d\psi, \quad Y = - \int \frac{\partial X}{\partial \psi} d\psi \quad \cdots \cdots (17)$$

$\phi = \text{const.}$ の上では

$$X = - \int \frac{\partial Y}{\partial \phi} d\phi, \quad Y = \int \frac{\partial X}{\partial \phi} d\phi \quad \cdots \cdots (18)$$

が適用できる。本報の例題に對しこそは、 Y をまずSOR法によつて解き、式(17)および(18)を用いて X を求めている。さて、式(12)の Y をSOR法の式で書くと図-3を参照して

$$Y_{i,j}^m = (\omega/4) \left(Y_{i-1,j}^m + Y_{i+1,j}^m + Y_{i,j-1}^{m-1} + Y_{i,j+1}^{m-1} \right) - (\omega - 1) \cdot Y_{i,j}^{m-1} \quad \cdots \cdots (19)$$

となる。ただし、 ω は加速係数(over relaxation factor)で m は収束計算のくりかえしの回数である。式(19)に對して $\partial Y / \partial Y = 0$ の境界条件は、例えば図-2(A)の $A \sim C$ 境界上においては

$$Y_{i,j}^m = (\omega/4) \left(Y_{i-1,j-1}^m + 2 \cdot Y_{i,j-1}^{m-1} + Y_{i,j+1}^{m-1} \right) - (\omega - 1) \cdot Y_{i,j}^{m-1} \quad \cdots \cdots (20)$$

となる。他の同様な境界 $K \sim M$ 上、または図-2(B)の $H \sim G$ 上の式はここでは省略した。

3. 數値計算 數値計算は全て九州産業大学電子計算機OKITAC5090および九州大学大型電子計算機FACOM230-60を用いてので図-1(A)の流れの場に對するプログラムのフローチャートを図-4に示している。図-1(B)の流れの場に對するものはこれより若干単純化されるのでここでは省略した。

4. 解析結果の模型実験による検討 數値計算の結果は図-5に示されており、これらとついで行なった実験の模様を写真-(A)および(B)に例示している。なお、図-5(A)に示している例は実用断面には未だほど遅い流れのようであるが、これは

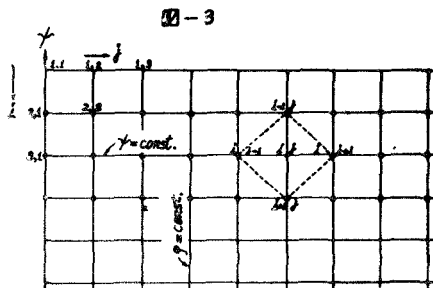
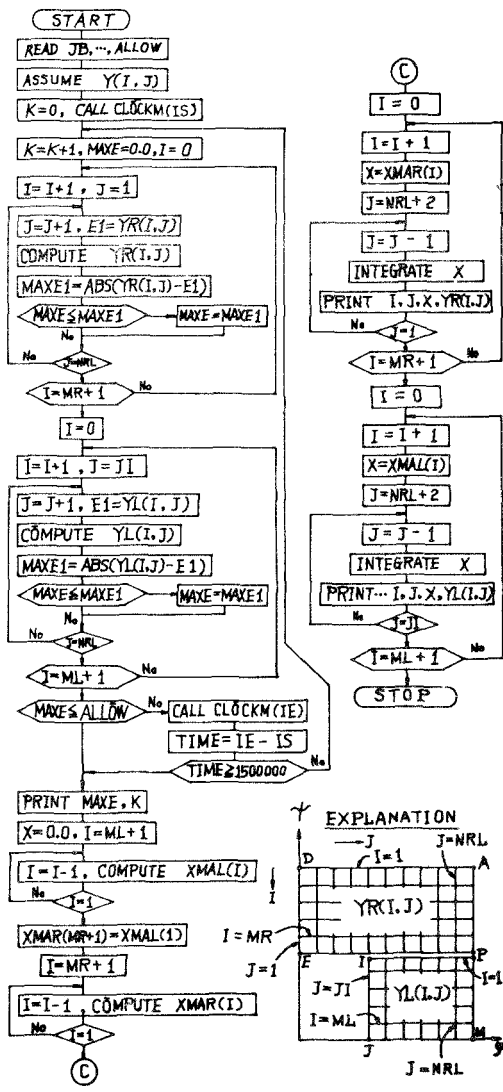


図-4. フローチャート (図-1(A)の流れに對するもの)



流れの場の特異点 A, B, \dots, M などの図-2 の ϕ -平面への対応点を ψ -平面の境界上で適当にえらべば解決できる問題であり、以下、検討中である。なお、砂模型実験の結果は写真-(A)および(B)に例示しているように、沿岸界面および内部流線などが理論曲線とよく一致している。このことから本報でとり扱った流れの場のようく自由界面をもつような地下走査流に対する SOR 法による解析は電子計算機の利用によって実用化され、その結果をもとにしたから有効な手段であると考える。なお、境界が全く固定されていても、境界の一部が曲面であるような場合とか、また複雑な多角形領域内の浸透流には等角写像の理論などでは、厳密にはどうしようもない問題が多いと考えられる。このような場合には SOR 法は境界の座標を ϕ -平面の境界上に簡単につなげることから、解決できる問題が多いと考えられる。なお、ここで取扱うような流れの場の諸元を実用的なしらし、それそれの諸元が流れに対してもどのような影響をおよぼすかを検討するには、かなりの計算結果が必要とするので、これまでについてはひきづき検討を加えてゆく計画である。

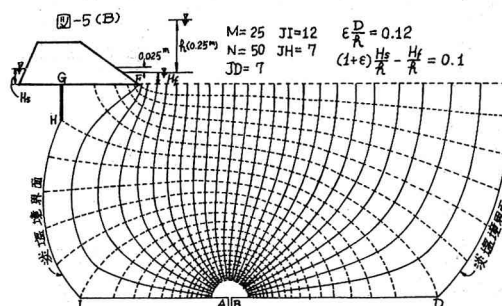
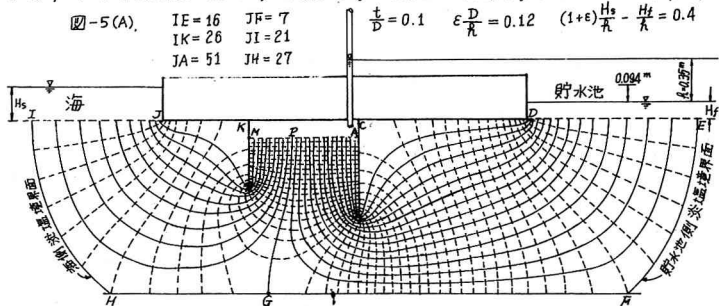


写真-(A) 図-5(A)に対する実験

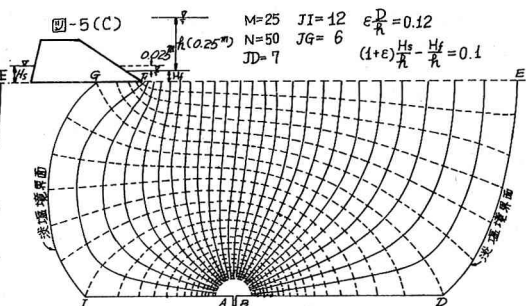
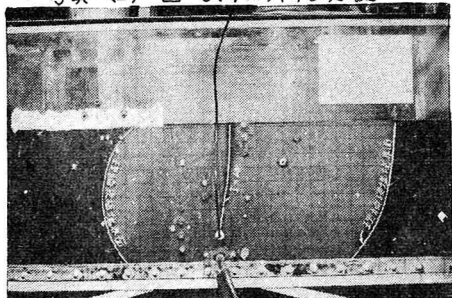
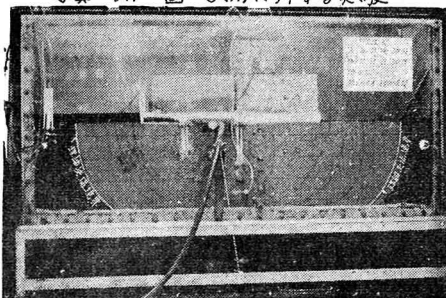


写真-(B) 図-5(C)に対する実験



参考文献

- 矢野健太郎：“微分方程式論”，P11，東海書房，昭和27年
- Srisakdi; Charmonman: COASTAL PARALLEL CANALS WITH INTERMEDIATE DRAINS
Proc. of ASCE, Hy. Div., Vol. 93, P.18, 1967
- Roland W. Jeppson: SEEPAGE THROUGH DAMS IN COMPLEX POTENTIAL PLANE
Proc. of ASCE, IR. and Dra. Div. vol. 94, P.23, 1968